



АКАДЕМИЯ НАУК СССР
ОРДЕНА ЛЕНИНА СИБИРСКОЕ ОТДЕЛЕНИЕ
ИНСТИТУТ ФИЗИКИ им.Л.В.КИРЕНСКОГО

ПРЕПРИНТ № 533 Ф

СВЕТОИНДУЦИРОВАННЫЙ ПЕРЕХОД ФРЕДЕРИКСА
В ДИСПЕРГИРОВАННЫХ КАПЛЯХ НЕМАТИКА

Жуйков В.А., Зырянов В.Я., Сморгон С.Л., Шабанов В.Ф.

Красноярск 1988

А Н Н О Т А Ц И Я

Для нового электрооптического материала – капсулированных полимером нематических жидкокристаллов проведены экспериментальные исследования переориентации директора под действием поля световой волны. Измерены пороговые зависимости светопропускания и светорассеяния пленки капсулированных нематиков от мощности лазерного излучения. Обсуждаются особенности проявления эффекта светоиндуцированного перехода Фредерикса в диспергированных каплях нематика и возможности его использования в прикладных целях.

ВВЕДЕНИЕ

В настоящее время ведется интенсивный поиск новых возможностей практического использования жидкокристаллов (ЖК). Одним из перспективных направлений является изучение гигантской оптической нелинейности мезофазы, обусловленной переориентацией директора ЖК под действием поля световой волны [1]. Такие исследования открывают возможность создания ряда нелинейных оптических устройств с низкой мощностью срабатывания на основе ориентационной нелинейности ЖК [1].

Наиболее ярким примером гигантской оптической нелинейности мезофаз служит открытый экспериментально [2] и полученный теоретическое обоснование в работах [3-5] светоиндуцированный переход Фредерикса (СПФ), то есть переориентация директора в однородно ориентированном слое нематического ЖК под действием падающего нормально светового потока с пороговой зависимостью от мощности света.

Однако, подобные исследования, проводимые до настоящего времени в монослоях ЖК не коснулись качественно нового электрооптического материала – диспергированных капель нематика в полимерной матрице [6].

В данной работе для капсулированных полимером нематических ЖК 5ЛБ и 7ДФЦГ проведены экспериментальные исследования переориентации директора под действием поля световой волны. Измерены пороговые зависимости светопропускания и светорассеяния пленки предварительно ориентированного переменным электрическим полем капсулированного нематика от мощности лазерного излучения. Обсуждаются особенности проявления эффекта светоиндуцированного перехода Фредерикса в диспергированных каплях нематика и возможности его практического использования

I. Эксперимент

Для измерения светопропускания и светорассеяния исследуемых образцов была собрана установка, схематическое изображение которой представлено на рис. I. Плоскополяризованное излучение от аргонового лазера ЛГН-402, варьируемое по мощности в диапазоне $0 + 350$ мВт для $\lambda = 0,5145$ мкм, фокусировалось линзой 4 на кювету 5 с диспергированным в полимере ЖК. Мощность проходящего образца и диафрагму 6 излучения определялась измерителем мощности ИМО-2Н. С использованием плоскопараллельной светоделительной пластины 3 и зеркала 9 реализовывался канал сравнения для

(С) Институт физики им. Л. В. Киренского СО АН СССР

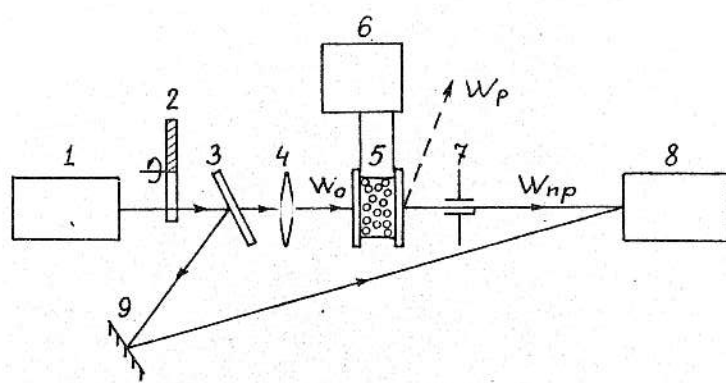


Рис.1. Схема экспериментальной установки:

1 - аргоновый лазер ЛГН-402 с дисперсионной призмой и поляризатором, 2 - прерыватель света, 3 - светоделительная пластина, 4 - линзы, 5 - термокювета с образцом, 6 - генератор сигналов ГЗ-II2/1 с усилителем, 7 - диафрагма, 8 - измеритель мощности ИМО-2Н или фотодиод ФД-24К с осциллографом С1-91, 9 - зеркало

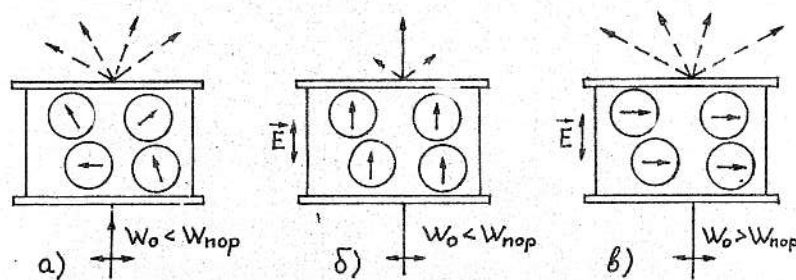


Рис.2. Прохождение плоско-поляризованного излучения через пленку с различным ориентационным состоянием капель ЖК в полимерной матрице: а) в отсутствие электрического сигнала при $W_o < W_{np}$; б) в поле переменного электрического сигнала при $W_o < W_{np}$; в) в поле переменного электрического сигнала при $W_o > W_{np}$. Плоскость поляризации света совпадает с плоскостью рисунка

- 4 -

проведения нормировки W_{np}/W_o . Собранный установкой представляет также возможность измерения мощности рассеянного в некотором телесном угле излучения. Модулируя излучение прерывателем света 2, с помощью фотодиода ФД-24К и осциллографа С1-91 измерялись времена включения $\tau_{вкл}$ и выключения $\tau_{выкл}$ нелинейно-оптического отклика. Измерения производились при температуре 22°С.

Исследуемые образцы приготавливались аналогично методике, описанной в работах [7,8]. В качестве матрицы использовался аморфный полимер, относящийся к группе термопластиков, который после таществорения и высыхания не претерпевает химических превращений и обладает хорошими пленкообразующими свойствами. Нематический ЖК вводился в раствор полимера в смеси растворителей. Полученный раствор выливался на поверхность подложки и высушивался. По мере испарения растворителя смесь становилась гетерофазной, образуя полимерную пленку с равномерно распределенными по объему капсулами нематического ЖК. Образец толщиной 15 мкм формировался с помощью сжатия нагретой полимерной пленки между стеклянными подложками, разделенными калиброванными прокладками из тефлона. На внутренние поверхности подложек напылены прозрачные проводящие электроды, на которые от генератора ГЗ-II2/1 с усилителем подается электрический сигнал с частотой 1 кГц и напряжением 200 В.

Локальный нагрев оценивался разностью температур перехода нематик-изотропная жидкость в каплях ЖК, находящихся в неосвещенной зоне и в центре светового пятна. В данной экспериментальной геометрии при мощности излучения 300 мВт величина его составляет 3 К.

Измерения показателей преломления $n_p, n_\perp, n_{||}$ проводились с помощью рефрактометра ИРФ-22, а также использовались данные работы [9]. Показатель преломления полимера n_p при комнатной температуре для $\lambda = 0,589 \text{ мкм}$ равен 1,47.

На рис.2 показано схематическое изображение прохождения лазерного излучения через полимерную пленку с различным ориентационным состоянием капель ЖК. Для исследуемых образцов показатель преломления обыкновенной волны n_\perp в нематическом ЖК близок к среднему показателю преломления n_p полимерной матрицы. В отсутствие электрического сигнала при малой мощности падающего излучения (рис.2а) луч рассеивается на произвольно ориентированных каплях нематика, имеющих осесимметричное упорядочение

молекул [8]. В поле переменного электрического сигнала директор ЖК в капсулах ориентируется перпендикулярно подложкам (рис.2б), что приводит к резкому уменьшению рассеяния света [6]. Для мощности излучения, превышающей пороговую (рис.2в), преимущественную роль в ориентации молекул играет поле световой волны, поворачивая директор ЖК в плоскость поляризации перпендикулярно волновому вектору. Такая геометрия соответствует максимальному градиенту показателя преломления света $n_{\parallel} - n_{\perp}$ на границе раздела полимер-капля ЖК и, следовательно, резкому увеличению рассеянного света. При этом аналогично СПФ в монослоях ЖК [2-5] следует ожидать пороговую зависимость переориентации директора в капле ЖК, которая проявится в пороговой зависимости светопропускания и светорассеяния от мощности падающего излучения.

2. Исследование капсулированного ЖК 5ЦБ

Один из наиболее хорошо исследованных различными физическими методами ЖК – 4-н-пентил-4'-цианобифенил (5ЦБ), имеющий температуры переходов K22H35И и структурную формулу



При комнатной температуре для $\lambda = 0,589$ мкм показатели преломления 5ЦБ $n_{\parallel} = 1,73$, $n_{\perp} = 1,53$. Визуальные наблюдения показывают, что при увеличении мощности света в центре светового пятна прошедшего образец излучения появляется тёмная область, которая охватывает затем весь луч.

Результаты измерений, представленные на рис.3 свидетельствуют о наличии в диспергированных каплях 5ЦБ, капсулированных в полимере, светоиндуцированного перехода Фредерикса при величине мощности падающего на образец излучения $W_{\text{пор}} \approx 105$ мВт, что соответствует значению плотности мощности $P_{\text{пор}} \approx 1,65$ кВт/см², если величина диаметра перетяжки $d \approx 90$ мкм.

На рис.4 представлены осциллограммы, полученные с использованием модулированного лазерного излучения варьируемой частоты и скважности и позволившие оценить быстродействие нелинейно-оптического отклика $\tau_{\text{бл}}$, а также время релаксации образца в исходное состояние $\tau_{\text{вкл}}$. Для $W_0 = 130$ мВт $\tau_{\text{бл}} \approx 1$ мсек, $\tau_{\text{вкл}} \approx 3$ мсек. Время переориентации директора ЖК $\tau_{\text{бл}}$ резко уменьшается при увеличении мощности падающего излучения. Время релаксации $\tau_{\text{вкл}}$ оценивалось в отсутствие переменного электри-

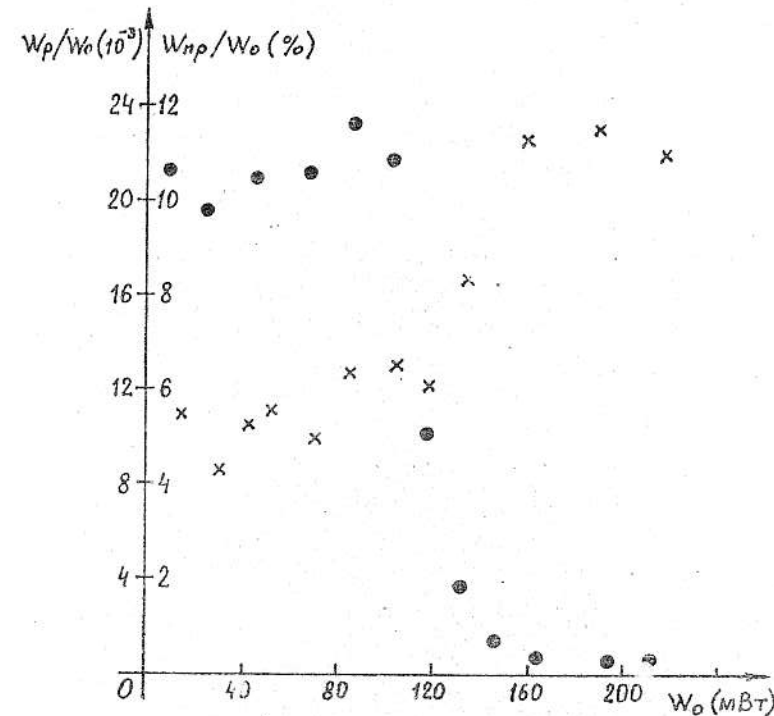


Рис.3. Зависимость светопропускания (•) и светорассеяния (×) для капсулированного полимером ЖК 5ЦБ от мощности падающего на образец излучения

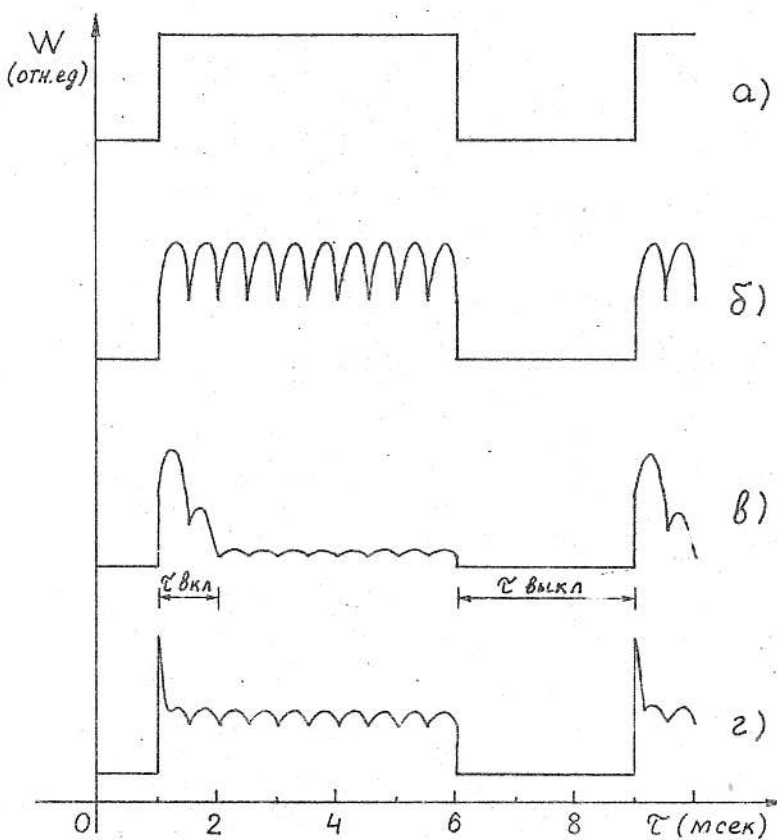


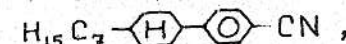
Рис.4. Осциллография модулированного светового потока:

а) падающего на пленку капсулированного ЖК БЦБ излучения; б) прошедшего излучения, если $W_o < W_{\text{пор}}$; в) прошедшего излучения, если $W_o \geq W_{\text{пор}}$; г) прошедшего излучения, если $W_o \gg W_{\text{пор}}$. На образец действует также приложенное к подложкам переменное электрическое поле, проявляющееся в осцилляциях меньшего периода и величины

электрического сигнала. Дополнительным аргументом ориентационного, а не теплового характера исследуемого перехода является наблюдаемое для случая $W_o \gg W_{\text{пор}}$ модулирование светового импульса переменным электрическим полем частотой 1 кГц.

3. Исследование капсулированного ЖК 7ЦФГ

Жидкий кристалл 4-н-гептил-4'-цианфенил циклогексан (7ЦФГ) со структурной формулой молекулы



имеющий температуры переходов К30Н57,7И, при охлаждении до комнатной температуры стекается, что дало возможность оценить значения показателей преломления. Для $\lambda = 0,589$ мкм величина их составляет: $n_{\parallel} = 1,60$, $n_{\perp} = 1,48$. Размеры капсул также, как и в случае ЖК БЦБ равны примерно 1 мкм.

На рис.5 представлена пороговая зависимость светопропускания пленки от мощности падающего излучения. Для данной среды показатели преломления n_p полимера и n_{\perp} ЖК примерно одинаковы, что объясняет более высокое, чем в случае ЖК БЦБ, светопропускание пленки в ориентированном электрическом полем состояний. СПФ в капсулированном ЖК 7ЦФГ происходит при мощности падающего излучения $W_{\text{пор}} \approx 180$ мВт.

Сравнение капсулированных ЖК 7ЦФГ и БЦБ с существенно различающимися значениями анизотропии диэлектрической проницаемости, $\epsilon_a = \epsilon_{\parallel} - \epsilon_{\perp} = n_{\parallel}^2 - n_{\perp}^2 \approx 0,37$ (7ЦФГ) и $\epsilon_a \approx 0,65$ (БЦБ) для $\lambda = 0,589$ мкм, дают возможность оценить зависимость пороговой плотности мощности излучения от ϵ_a . Расчеты показывают,

$$\frac{\epsilon_a(7\text{ЦФГ})}{\epsilon_a(\text{БЦБ})} \approx 0,57, \quad \frac{P_{\text{пор}}(\text{БЦБ})}{P_{\text{пор}}(7\text{ЦФГ})} \approx 0,58,$$

хорошо согласуются с предсказаниями теории СПФ в монослоях [3,4]: $P_{\text{пор}} \sim \epsilon_a^{-1}$. Погрешность в расчетах, обусловленная дисперсионной зависимостью отношения ϵ_a исследуемых ЖК в диапазоне длин волн 0,5890 ± 0,5145 мкм несущественна. Более корректное проведение подобной оценки требует также учета отличия модулей упругости и отношения $\epsilon_{\parallel}/\sqrt{\epsilon_{\perp}}$ сравниваемых ЖК [3-5],

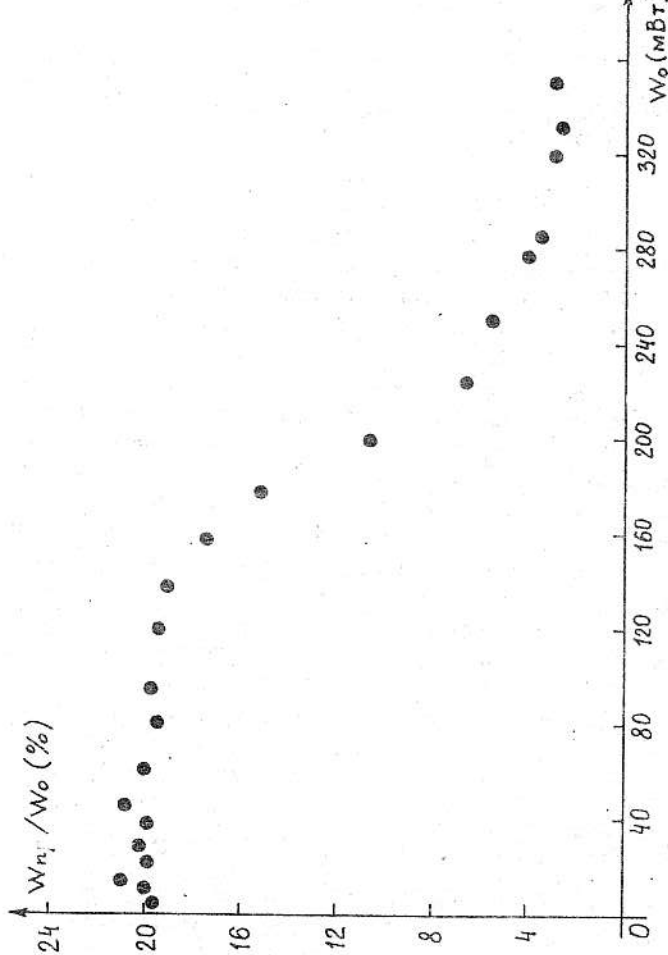


Рис. 5. Зависимость светопропускания для капсулированного полимером ЖК 7ЦФГ от мощности падающего на образец излучения

вклад которых в данном случае, по-видимому, примерно одинаков.

ЗАКЛЮЧЕНИЕ

Таким образом, в настоящей работе для капсулированных полимером нематических ЖК проведены экспериментальные исследования переориентации директора в поле световой волны. Результаты измерений показывают пороговую зависимость светопропускания и светорассеяния пленки от мощности лазерного излучения, характерную для перехода Фредерикса. Измеренные пороговые значения плотности мощности излучения для капсулированных полимером нематических ЖК 5ЦБ и 7ЦФГ по порядку величины совпадают с результатами исследований СПФ в монослоях ЖК толщиной около 100 мкм [2-5]. Этот факт представляется неожиданным, так как, например, $P_{\text{пор}}$ для монослоя нематика толщиной 1 мкм согласно выводам теории [3-5] ожидается на 4 порядка больше, чем для слоя толщиной 100 мкм ($P_{\text{пор}} \sim 1/L^2$, где L - толщина слоя), и определяет актуальность разработки теоретической модели эффекта светоиздуцированной переориентации директора в капсулированных полимером каплях нематиков.

Проведенные исследования ЖК 5ЦБ и 7ЦФГ с существенно различающимися значениями анизотропии диэлектрической проницаемости ϵ_a подтвердили зависимость $P_{\text{пор}} \sim \epsilon_a^{-1}$, характерную для монослоев ЖК [3-5].

Измеренные значения времени включения и релаксации нелинейно-оптического отклика совпадают с соответствующими характеристиками электооптического аналога перехода Фредерикса в капсулированных нематиках и на несколько порядков превышают быстродействие СПФ в монослоях ЖК [2-5].

Преимущества в технологии изготовления модуляторов света на основе капсулированных полимером ЖК, сочетающиеся с высоким быстродействием нелинейно-оптического отклика и возможностью варьирования в широких пределах порогового значения мощности излучения определяют широкие перспективы практического использования СПФ в данных средах. *

* Следовательно, необходимо проведение интенсивных исследований динамических, температурных и спектральных характеристик СПФ для различных композиций ЖК-полимер.

Авторы благодарят Жаркову Т.М. за предоставленную полимерную матрицу и ценные консультации.

ЛИТЕРАТУРА

1. Зельдович Б.Я., Пилипецкий Н.Ф., Сухов А.В., Табиран Н.В. Гигантская оптическая нелинейность в мезофазе ЖЖК. - Письма ЖЭТФ, 1980, т.31, №б. - с.287-299.
2. Золотъко А.С., Китчева В.Ф., Кроо Н., Соболев Н.Н., Чиллаг Л. Влияние поля световой волны на нематическую фазу жидкого кристалла ОЦБФ. - Письма ЖЭТФ, 1980, 1980, т.32, №2.- с.170-174.
3. Зельдович Б.Я., Табиран Н.В., Чилингарян Ю.С. Переход Фредерикса под действием световых полей. - ЖЭТФ, 1981, т.81, №1(7). - с.72-83.
4. Зельдович Б.Я., Табиран Н.В. Теория светоиндуцированного перехода Фредерикса (СПФ). - ЖЭТФ, 1982, т.82, №4.-с.1126-1146.
5. Зельдович Б.Я., Табиран Н.В. Ориентационная оптическая нелинейность жидких кристаллов. - УФН, 1985, т.147, №4. - с.633-674.
6. Doane J.W., Vaz N.A., Wu F -G., Zumer S. Field controlled light scattering from nematic microdroplets.- Appl. Phys. Lett., 1986, v.48, No 4.-p.269-271.
7. Жаркова Г.М., Науменко С.В. Оптические свойства холестерических жидких кристаллов в полимерной пленке // Тезисы докладов 8-й конференции социалистических стран по жидким кристаллам. ЧССР. 1967, - с.50.
8. Жуйков В.А., Шабанов В.Ф., Жаркова Г.М. Электрооптические свойства капсулированных ЖЖ //Тезисы докладов 6-й Всесоюзной конференции "ЖЖ и их практическое использование". Чернигов. 8-II сентября.1988. - с.172.
9. Зырянов В.Я., Эпштейн В.Ш. Измерение показателей преломления жидкого кристалла с использованием перестраиваемого источника когерентного инфракрасного излучения. - ПТЭ, 1987, №2. - с.164-166.

Ответственный за выпуск Жуйков В.А.

Подписано в печать 27.12.88г. АЛ 00132

Уч.изд.л. 0,7 Тираж 200 Заказ 11

Отпечатано на ротопринте ИФ СО АН СССР

660036, Красноярск, Академгородок